

ТЕОРЕТИЧЕСКИЕ И ЭКСПЕРИМЕНТАЛЬНЫЕ АСПЕКТЫ УЛЬТРАЗВУКОВОГО ВОССТАНОВЛЕНИЯ ЩЕЛОЧНЫХ АККУМУЛЯТОРОВ

© К. В. Безручко, А. С. Василенко, А. О. Давидов, А. А. Харченко

Національний аерокосмічний університет ім. М. Є. Жуковського (ХАІ)

Теоретично розглянута та експериментально перевірена можливість використання ультразвукової дії для відновлення ємнісних характеристик нікель-кадмієвих акумуляторів. Розраховано умови ультразвукової дії.

Широкое использование аккумуляторов в авиации и космонавтике, в промышленности и на транспорте выдвигает на первый план задачу повышения ресурса их службы. Однако с течением времени их эксплуатации основные характеристики, в частности емкость аккумуляторов, существенно снижаются, и это требует поиска методов их восстановления.

Известно, что срок службы щелочного аккумулятора ограничивается окисно-никелевым электродом, который выходит из строя раньше отрицательных пластин.

Коэффициент использования активной массы пористого электрода сильно зависит от степени ее дисперсности [2]. Чем меньше отдельные частицы, тем полнее их масса участвует в электрохимическом процессе. При мелкодисперсной массе поверхность контакта с электролитом больше, и этим обусловливается повышение электрической емкости аккумуляторов.

Однако во время эксплуатации частицы активной массы окисно-никелевого электрода значительно увеличиваются в размере.

Следовательно, для восстановления емкости аккумуляторов необходимо перевести кристаллизовавшуюся активную массу окисно-никелевого электрода в аморфное состояние. Данную задачу можно решить с помощью ультразвука.

В промышленности ультразвук широко используется для диспергирования материалов в специализированных промышленных установках. Учитывая опыт ранее проведенных исследований по влиянию ультразвука на дисперсное состояние активной массы при формировании электродов никель-кадмевых аккумуляторов в процессе изготовления [2], можно поставить вопрос об использовании ультразвука для уменьшения величины зерен активной массы электродов, а следовательно, и вос-

становления емкости аккумуляторов.

Обзор литературных данных [2] показал, что наложение акустического поля в процессе осаждения гидрата закиси никеля вызывает значительные изменения гранулометрического состава: содержание крупных фракций уменьшается, а мелких увеличивается. Эти изменения зависят от частоты колебаний и длительности воздействия ультразвука.

Акустическое воздействие на осаждаемый гидрат в конечном счете может повысить коэффициент использования никеля (рис. 1) на 5—20 %.

Для описания процессов, протекающих в жидкостях при воздействии ультразвука, нами была выбрана теория кавитации. Считая процесс кавитации определяющим фактором при разрушении твердых тел, выясним механизм кавитации и на основании аналитических выражений определим основные параметры ультразвукового воздействия (частоту и интенсивность ультразвукового воздействия, среду воздействия и гидростатическое давление).

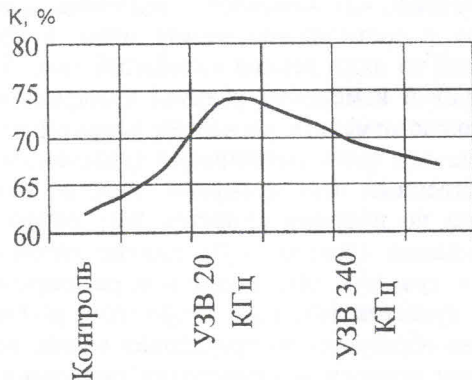


Рис. 1. Зависимость коэффициента K использования никеля на 30-м цикле от частоты озвучивания (при производстве аккумуляторов)

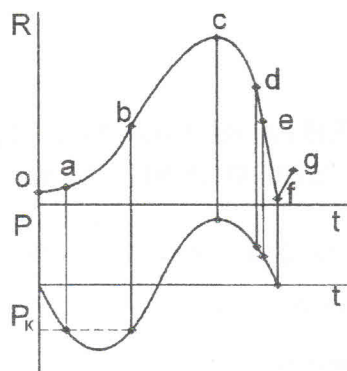


Рис. 2. Изменение размера кавитационной полости за один период колебаний

ние в камере).

Пузырек при своем движении испытывает воздействие следующих сил: гидростатического давления P_0 ; акустического давления αP_A , где α — коэффициент усреднения давления на рассматриваемом участке синусоиды; давление пара и газа $P_{\text{пг}}$ в пузырьке; сил поверхностного натяжения P_s ; динамического давления, создаваемого потоком жидкости P_d . Мы не учитываем силы вязкого трения, так как для жидкостей с малой вязкостью (вода, водные растворы кислот и щелочей), применяемых в ультразвуковой и электротехнической технологиях, силы вязкого трения незначительны. Учитывая, что пульсации полостей на ультразвуковых частотах протекают за весьма короткий промежуток времени (несколько десятков микросекунд), не учитываем также диффузию газа на границе жидкость-стенка пузырька. Величина и направление действующих на стенку пузырька результирующих сил в процессе пульсаций изменяются в зависимости от фазы колебаний и инерционных свойств пузырька.

Рассмотрим, как изменяется величина действующих сил и соотношение между ними в процессе пульсаций за один период колебаний (рис. 2).

На кривой изменения радиуса пузырька во времени можно отметить несколько характерных участков: начало фазы расширения (участок oa); беспрепятственный рост пузырька (участок ab); рост пузырька по инерции (участок bc); начало фазы захлопывания (участок cd); сжатие пузырька по инерции (участок df); вторичное расширение пузырька (участок fd). При вторичном расширении пузырька образуется микроударная волна, под воздействием которой и происходит диспергирование активной массы.

Разрушения, вызванные кавитацией, можно объяснить не только действием ударных волн, но и

другими причинами: локальным перегревом поверхности твердого тела, находящегося вблизи заполненного перегретым газом пузырька, ударами струй жидкости о поверхность твердого тела при делении пузырька на конечной стадии захлопывания, электрическими разрядами и некоторыми другими факторами.

Выбранная нами гипотеза формирования ударных волн при вторичном расширении полости дает хорошее качественное совпадение расчетных и экспериментальных данных.

Из работы [3] следует, что динамика кавитационной полости, при вышеописанных допущениях, теоретически описывается уравнением

$$\rho \left(R \ddot{R} + \frac{3}{2} \dot{R}^2 \right) - \left[\left(P_0 - P_{\Pi} + \frac{2\sigma}{R_0} \right) \left(\frac{R_0}{R_{\max}} \right)^3 + P_{\Pi} \right] \left(\frac{R_{\max}}{R} \right)^{3\gamma} + \frac{2\sigma}{R} + P_0 - P_A \sin \omega t = 0, \quad (1)$$

где ρ — плотность среды; R — текущий радиус пузырька; P_0 — гидростатическое давление среды; P_{Π} — давление насыщенных паров среды; σ — коэффициент поверхностного натяжения среды; R_0 — начальный радиус пузырька; R_{\max} — максимальный радиус пузырька; γ — показатель политропы; P_A — звуковое давление; ω — угловая частота волн; t — время.

На основании анализа и статистической обработки данных, полученных при численном решении уравнения (1), предложен безразмерный критерий для оценки эрозионной активности звукового поля $\chi = R_{\max}^3 / (R_{\min}^3 \Delta t f)$ [1]. С учетом данного критерия решение уравнения (1) имеет вид

$$\chi = \frac{8.14(P_A - P_0)^{5/2}(0.2P_A + P_0)^{7/2}}{P_A^3 P_{\Pi}^3}. \quad (4)$$

Определив максимальные значения χ и используя известные выражения, можно получить все интересующие нас параметры (частоту и интенсивность ультразвукового воздействия, среду воздействия и гидростатическое давление в камере):

$$\omega = 2\pi f, \quad (2)$$

где f — частота звуковой волны;

$$P_A = \rho c \omega A, \quad (3)$$

где c — скорость звука в среде; A — амплитуда смещения излучателя (интенсивность звуковой волны).

Используя теоретически рассчитанные оптималь-

ные параметры ультразвукового воздействия, нами были проведены экспериментальные исследования возможности восстановления емкостных характеристик никель-кадмийевых аккумуляторов. Озвучивание производилось на ультразвуковой установке с генератором типа УЗМ-1.5.

Рабочая частота данной установки — 17 кГц; амплитуда смещения излучателя — 1.1 мкм; время воздействия ультразвуком — 5 мин; среда воздействия — стандартный электролит; гидростатическое давление — 1 атм.

Исследования проводились в два этапа. На первом этапе исследовалось воздействие ультразвуком на электродные пластины и серапатор аккумулятора типа НК-14. При этом было получено существенное уменьшение зерна активной массы (рис. 3 на стр. 147).

На втором этапе исследовались рабочие аккумуляторы типа НК-28. Результаты исследований приведены на рис. 4.

В данном случае было получено увеличение емкости аккумуляторов в среднем на 20 % от名义ной емкости аккумулятора.

Проведенный нами теоретический анализ процессов, протекающих в аккумуляторах при воздействии на них ультразвука, показал возможность использования ультразвука для восстановления емкости аккумуляторов.

В результате проведенных экспериментов подтверждена возможность восстановления емкости никель-кадмийевых аккумуляторов с помощью ультразвука на промышленных ультразвуковых установках (происходит заметная диспергирование активной массы и прирост емкости в среднем на 20 %).

В настоящее время нами ведется работа по подбору оптимальных параметров ультразвукового



Рис. 4. Прирост емкости Q никель-кадмийевых аккумуляторов. 1 и 2 — проводилась замена электролита и озвучиванию, 3 и 4 — проводилась только замена электролита

воздействия и составлению методики восстановления аккумуляторов ультразвуковым методом.

- Бронин Ф. А. Исследование кавитационного разрушения и диспергирования твердых тел в ультразвуковом поле: Канд. дис. — М., 1996.
- Скалозубов М. Ф. Активные массы электрических аккумуляторов. — Новочеркасск.: РИО НПИ, 1962.
- Ультразвуковая технология / Под ред. Б. А. Аграната. — М.: Металлургия, 1974.

THEORETICAL AND EXPERIMENTAL ASPECTS OF ULTRASONIC RESTORATION OF ALKALINE ACCUMULATORS

K. Bezruchko, A. Vasilenko, A. Davidov, A. Kharchenko

The possibility to use ultrasonic action for the restoration of the capacitor characteristics of nickel-cadmium accumulators is discussed. The conditions of the ultrasonic action are designed. An experimental check of the possibility to use ultrasound for the restoration of alkaline nickel-cadmium accumulators was carried out.